

# Starkniederschlagshöhen und -spenden gemäß KOSTRA-DWD-2020

## Rasterfeld 108195

(Zeile 108, Spalte 195)

### Regenspende und Bemessungsniederschlagswerte in Abhängigkeit von Wiederkehrzeit T und Dauerstufe D

| Dauerstufe D |     | Wiederkehrzeit T |            |      |            |      |            |      |            |      |            |       |            |       |            |       |            |       |            |
|--------------|-----|------------------|------------|------|------------|------|------------|------|------------|------|------------|-------|------------|-------|------------|-------|------------|-------|------------|
|              |     | 1 a              |            | 2 a  |            | 3 a  |            | 5 a  |            | 10 a |            | 20 a  |            | 30 a  |            | 50 a  |            | 100 a |            |
| min          | Std | mm               | l / (s ha) | mm   | l / (s ha) | mm   | l / (s ha) | mm   | l / (s ha) | mm   | l / (s ha) | mm    | l / (s ha) | mm    | l / (s ha) | mm    | l / (s ha) | mm    | l / (s ha) |
| 5            |     | 6,8              | 226,7      | 8,8  | 293,3      | 9,9  | 330,0      | 11,5 | 383,3      | 13,7 | 456,7      | 16,0  | 533,3      | 17,6  | 586,7      | 19,5  | 650,0      | 22,4  | 746,7      |
| 10           |     | 9,0              | 150,0      | 11,5 | 191,7      | 13,1 | 218,3      | 15,2 | 253,3      | 18,1 | 301,7      | 21,2  | 353,3      | 23,2  | 386,7      | 25,8  | 430,0      | 29,5  | 491,7      |
| 15           |     | 10,3             | 114,4      | 13,2 | 146,7      | 15,0 | 166,7      | 17,4 | 193,3      | 20,7 | 230,0      | 24,2  | 268,9      | 26,5  | 294,4      | 29,5  | 327,8      | 33,8  | 375,6      |
| 20           |     | 11,3             | 94,2       | 14,4 | 120,0      | 16,4 | 136,7      | 18,9 | 157,5      | 22,6 | 188,3      | 26,4  | 220,0      | 28,9  | 240,8      | 32,2  | 268,3      | 36,9  | 307,5      |
| 30           |     | 12,6             | 70,0       | 16,2 | 90,0       | 18,3 | 101,7      | 21,2 | 117,8      | 25,4 | 141,1      | 29,6  | 164,4      | 32,4  | 180,0      | 36,1  | 200,6      | 41,3  | 229,4      |
| 45           |     | 14,0             | 51,9       | 18,0 | 66,7       | 20,4 | 75,6       | 23,6 | 87,4       | 28,2 | 104,4      | 32,9  | 121,9      | 36,0  | 133,3      | 40,1  | 148,5      | 45,9  | 170,0      |
| 60           | 1   | 15,1             | 41,9       | 19,3 | 53,6       | 21,9 | 60,8       | 25,3 | 70,3       | 30,3 | 84,2       | 35,3  | 98,1       | 38,7  | 107,5      | 43,0  | 119,4      | 49,3  | 136,9      |
| 90           | 1,5 | 16,6             | 30,7       | 21,3 | 39,4       | 24,1 | 44,6       | 27,9 | 51,7       | 33,3 | 61,7       | 39,0  | 72,2       | 42,6  | 78,9       | 47,4  | 87,8       | 54,3  | 100,6      |
| 120          | 2   | 17,8             | 24,7       | 22,7 | 31,5       | 25,8 | 35,8       | 29,8 | 41,4       | 35,7 | 49,6       | 41,7  | 57,9       | 45,6  | 63,3       | 50,7  | 70,4       | 58,1  | 80,7       |
| 180          | 3   | 19,5             | 18,1       | 24,9 | 23,1       | 28,3 | 26,2       | 32,7 | 30,3       | 39,1 | 36,2       | 45,7  | 42,3       | 50,0  | 46,3       | 55,6  | 51,5       | 63,7  | 59,0       |
| 240          | 4   | 20,8             | 14,4       | 26,6 | 18,5       | 30,2 | 21,0       | 34,9 | 24,2       | 41,7 | 29,0       | 48,8  | 33,9       | 53,4  | 37,1       | 59,4  | 41,3       | 68,0  | 47,2       |
| 360          | 6   | 22,8             | 10,6       | 29,1 | 13,5       | 33,1 | 15,3       | 38,2 | 17,7       | 45,7 | 21,2       | 53,4  | 24,7       | 58,4  | 27,0       | 65,0  | 30,1       | 74,4  | 34,4       |
| 540          | 9   | 24,9             | 7,7        | 31,9 | 9,8        | 36,2 | 11,2       | 41,8 | 12,9       | 50,0 | 15,4       | 58,4  | 18,0       | 63,9  | 19,7       | 71,1  | 21,9       | 81,4  | 25,1       |
| 720          | 12  | 26,5             | 6,1        | 33,9 | 7,8        | 38,5 | 8,9        | 44,6 | 10,3       | 53,2 | 12,3       | 62,2  | 14,4       | 68,1  | 15,8       | 75,7  | 17,5       | 86,7  | 20,1       |
| 1080         | 18  | 29,0             | 4,5        | 37,1 | 5,7        | 42,1 | 6,5        | 48,7 | 7,5        | 58,2 | 9,0        | 68,0  | 10,5       | 74,4  | 11,5       | 82,8  | 12,8       | 94,8  | 14,6       |
| 1440         | 24  | 30,9             | 3,6        | 39,5 | 4,6        | 44,8 | 5,2        | 51,9 | 6,0        | 62,0 | 7,2        | 72,4  | 8,4        | 79,2  | 9,2        | 88,2  | 10,2       | 101,0 | 11,7       |
| 2880         | 48  | 35,9             | 2,1        | 46,0 | 2,7        | 52,2 | 3,0        | 60,3 | 3,5        | 72,1 | 4,2        | 84,2  | 4,9        | 92,1  | 5,3        | 102,5 | 5,9        | 117,5 | 6,8        |
| 4320         | 72  | 39,2             | 1,5        | 50,2 | 1,9        | 57,0 | 2,2        | 65,9 | 2,5        | 78,7 | 3,0        | 92,0  | 3,5        | 100,7 | 3,9        | 112,0 | 4,3        | 128,3 | 4,9        |
| 5760         | 96  | 41,8             | 1,2        | 53,4 | 1,5        | 60,7 | 1,8        | 70,2 | 2,0        | 83,8 | 2,4        | 97,9  | 2,8        | 107,2 | 3,1        | 119,3 | 3,5        | 136,6 | 4,0        |
| 7200         | 120 | 43,9             | 1,0        | 56,1 | 1,3        | 63,7 | 1,5        | 73,6 | 1,7        | 88,0 | 2,0        | 102,8 | 2,4        | 112,5 | 2,6        | 125,2 | 2,9        | 143,4 | 3,3        |
| 8640         | 144 | 45,6             | 0,9        | 58,4 | 1,1        | 66,3 | 1,3        | 76,6 | 1,5        | 91,6 | 1,8        | 107,0 | 2,1        | 117,0 | 2,3        | 130,3 | 2,5        | 149,2 | 2,9        |
| 10080        | 168 | 47,2             | 0,8        | 60,4 | 1,0        | 68,5 | 1,1        | 79,2 | 1,3        | 94,7 | 1,6        | 110,6 | 1,8        | 121,0 | 2,0        | 134,7 | 2,2        | 154,3 | 2,6        |

# Starkniederschlagshöhen und -spenden gemäß KOSTRA-DWD-2020

## Rasterfeld 108195

(Zeile 108, Spalte 195)

### Örtliche Unsicherheiten in Abhängigkeit von Wiederkehrzeit T und Dauerstufe D

| Dauerstufe D |     | Wiederkehrzeit T |     |     |     |      |      |      |      |       |
|--------------|-----|------------------|-----|-----|-----|------|------|------|------|-------|
|              |     | 1 a              | 2 a | 3 a | 5 a | 10 a | 20 a | 30 a | 50 a | 100 a |
| min          | Std | ± %              | ± % | ± % | ± % | ± %  | ± %  | ± %  | ± %  | ± %   |
| 5            |     | 11               | 11  | 11  | 12  | 13   | 13   | 13   | 14   | 14    |
| 10           |     | 12               | 14  | 15  | 16  | 17   | 18   | 18   | 19   | 20    |
| 15           |     | 14               | 16  | 17  | 18  | 20   | 21   | 21   | 22   | 22    |
| 20           |     | 15               | 17  | 19  | 20  | 21   | 22   | 23   | 23   | 24    |
| 30           |     | 16               | 19  | 20  | 21  | 23   | 24   | 24   | 25   | 25    |
| 45           |     | 17               | 19  | 21  | 22  | 23   | 24   | 25   | 25   | 26    |
| 60           | 1   | 17               | 19  | 21  | 22  | 23   | 24   | 25   | 26   | 26    |
| 90           | 1,5 | 16               | 19  | 20  | 22  | 23   | 24   | 25   | 25   | 26    |
| 120          | 2   | 16               | 19  | 20  | 21  | 23   | 24   | 24   | 25   | 26    |
| 180          | 3   | 15               | 18  | 19  | 21  | 22   | 23   | 24   | 24   | 25    |
| 240          | 4   | 15               | 17  | 19  | 20  | 21   | 22   | 23   | 24   | 24    |
| 360          | 6   | 14               | 17  | 18  | 19  | 20   | 21   | 22   | 23   | 23    |
| 540          | 9   | 13               | 16  | 17  | 18  | 20   | 21   | 21   | 22   | 22    |
| 720          | 12  | 13               | 15  | 16  | 18  | 19   | 20   | 20   | 21   | 22    |
| 1080         | 18  | 12               | 15  | 16  | 17  | 18   | 19   | 20   | 20   | 21    |
| 1440         | 24  | 12               | 14  | 15  | 16  | 18   | 18   | 19   | 19   | 20    |
| 2880         | 48  | 12               | 14  | 14  | 15  | 17   | 17   | 18   | 18   | 19    |
| 4320         | 72  | 13               | 14  | 14  | 15  | 16   | 17   | 17   | 18   | 18    |
| 5760         | 96  | 13               | 14  | 14  | 15  | 16   | 17   | 17   | 18   | 18    |
| 7200         | 120 | 14               | 14  | 15  | 15  | 16   | 17   | 17   | 18   | 18    |
| 8640         | 144 | 14               | 14  | 15  | 15  | 16   | 17   | 17   | 17   | 18    |
| 10080        | 168 | 15               | 15  | 15  | 16  | 16   | 17   | 17   | 17   | 18    |

### Parameter für abweichende T und D

#### Lokationsparameter $\xi$ (Xi)

15,50670739

#### Skalenparameter $\alpha$ (Alpha)

6,01866285

#### Formparameter $\kappa$ (Kappa)

-0,1

#### 1. Koutsoyiannis-Parameter $\theta$ (Theta)

0,03537326

#### 2. Koutsoyiannis-Parameter $\eta$ (Eta)

0,78264081

Parameter für dauerstufenübergreifende Extremwertschätzung nach KOUTSOYIANNIS et al. 1998.

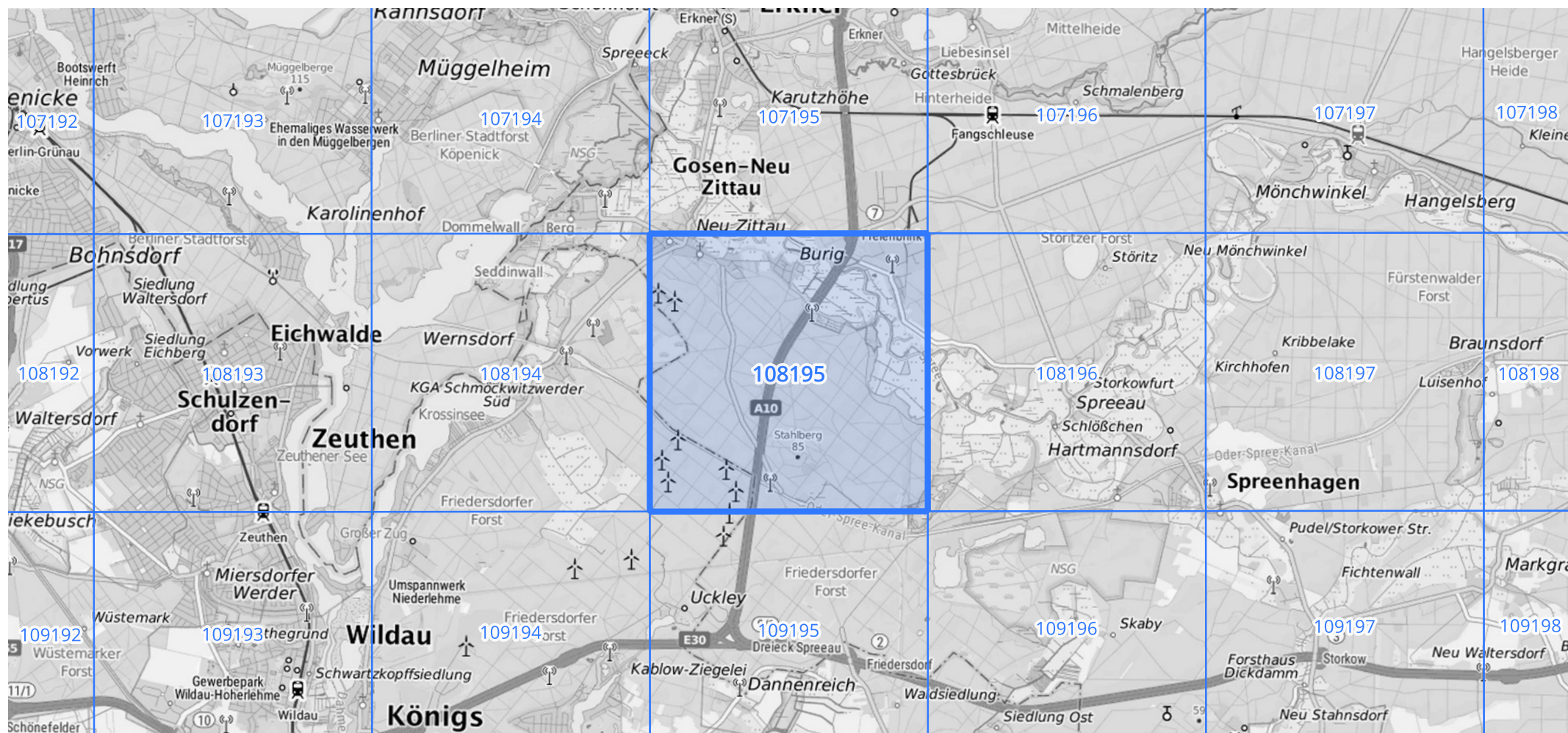
Siehe auch Anwendungshilfe zu KOSTRA-DWD-2020 des Deutschen Wetterdienstes.

## Starkniederschlagshöhen und -spenden gemäß KOSTRA-DWD-2020

## Rasterfeld 108195

(Zeile 108, Spalte 195)

## Übersichtskarte des Rasterfeldes 108195, M 1 : 100 000



Quelle Rasterdaten: KOSTRA-DWD-2020 des Deutschen Wetterdienstes, Stand 12/2022.

Seite 3 von 3

Kartendarstellung: © Bundesamt für Kartographie und Geodäsie (2023), Datenquellen: [https://gsx.geodatenzentrum.de/web\\_public/gdz/datenquellen/Datenquellen\\_TopPlusOpen.html](https://gsx.geodatenzentrum.de/web_public/gdz/datenquellen/Datenquellen_TopPlusOpen.html)

Für die Richtigkeit und Aktualität der Angaben wird keine Gewähr übernommen. Erstellt 01/2023.